

مدل سازی کشش بین سطحی سیستم آب شور / نفت خام / سورفکتانت آنیونی با روش برنامه ریزی ژنتیک

دانیال ابوعلی، شاهرخ شاهحسینی*، محمدامین ثباتی و مهدی عصاره
دانشکده مهندسی شیمی، نفت و گاز، دانشگاه علم و صنعت، تهران، ایران

تاریخ دریافت: ۹۶/۱۰/۱۷ تاریخ پذیرش: ۹۶/۴/۱۰

چکیده

مواد فعال سطحی به عنوان مهم‌ترین ترکیبات شیمیایی در فرآیند ازدیاد برداشت شیمیایی، می‌توانند با کاهش کشش بین سطحی میان محلول آبی تزریقی و نفت مخزن، ضمن تغییر ترشوندگی محیط متخلخل، مقادیر قابل توجهی از نفت باقی‌مانده در مخزن را که به صورت پراکنده درون حفره‌ها و گلگاه‌ها بهدام افتاده‌اند، آزاد کنند و به‌سمت چاه تولیدی هدایت نمایند. با توجه به نقش مواد فعال سطحی، لازم است روش‌هایی برای پیش‌بینی عملکرد آن‌ها در فرآیند ازدیاد برداشت ارائه شود. در پژوهه‌ی حاضر، مجموعه‌ای از دو مدل ریاضی داده‌محور برای تخمین کشش بین سطحی سیستم آب‌شور / نفت خام / سورفکتانت آنیونی ساخته شده‌اند که در تولید آن‌ها از ۵۹۸ داده تجربی استفاده شده است. برای ایجاد همبستگی میان متغیرهای مستقل و تابع هدف، از روش برنامه‌ریزی ژنتیک به عنوان یکی از قوی‌ترین ابزارهای مدل‌سازی بهره گرفته شده است. مجدوز ضریب همبستگی (R^2) روابط ایجاد شده برابر با ۰/۹۴۶ و ۰/۹۳۸۷ و جذر میانگین مربعات خطأ (RMSD) برای این روابط، برابر با $3/3261 \text{ mN/m}$ و $3/4439 \text{ mN/m}$ است. سادگی و تخمین‌های مناسب، از ویژگی‌های روابط تولید شده است.

کلمات کلیدی: کشش بین سطحی، سورفکتانت آنیونی، نفت خام، آب شور، مدل ریاضی.

مواد فعال سطحی به عنوان اصلی‌ترین مواد در ازدیاد برداشت شیمیایی شناخته شده و نقش کلیدی آن‌ها، کاهش اشباع نفت باقی‌مانده در منافذ ریز مخزن از طریق کاهش کشش بین سطحی^۱ (IFT) میان محلول آبی تزریقی و نفت خام موجود است که به جایه‌جایی میکروسکپی نفت از منافذ مخزن به چاه تولیدی می‌انجامد [۱].

مقدمه

ازدیاد برداشت شیمیایی به عنوان یکی از روش‌های ازدیاد برداشت نفت در نظر گرفته شده که در آن، از مواد شیمیایی مختلفی شامل مواد فعال سطحی (سورفکتانت)، آلکالاین و پلیمر بهره گرفته می‌شود.

*مسئول مکاتبات
آدرس الکترونیکی shahrokh@iust.ac.ir
شناسه دیجیتال (DOI): 10.22078/pr.2018.2854.2336

دارای هزینه‌های قابل توجهی است. از این‌رو، لازم است با دقت در انتخاب سورفکتانت مناسب، زمینه سودآور بودن سیلاپ‌زنی شیمیایی را مهیا نمود. با توجه به تأثیر ساختار مولکولی و نوع سورفکتانت بر بازده فرآیند سیلاپ‌زنی، یافتن روش‌هایی که بتوانند تخمین مناسبی از تأثیر سورفکتانتهاي گوناگون را ارائه نماید، ضروری به نظر می‌رسد. روش‌های کنونی غالباً مبتنی بر نمونه‌گیری‌های آزمایشگاهی هستند. روش‌های آزمایشگاهی و تجربی جزء دقیق‌ترین روش‌ها برای تعیین سورفکتانت مناسب در فرآیند ازدیاد برداشت به شمار می‌روند. هرچند، عموماً وقت‌گیر و پرهزینه هستند. در کنار این روش‌ها می‌توان از تکیه‌های مختلف مدل‌سازی برای تخمین و انتخاب بهترین شرایط برای اجرای فرآیند بهره برد.

با توجه به تأثیر مستقیم سورفکتانت بر کشش بین‌سطحی، عموماً مدل‌سازی همین پارامتر برای بیان تأثیر سورفکتانت بر فرآیند ازدیاد برداشت مورد بررسی قرار می‌گیرد. در میان انواع سورفکتانتها، نوع غیریونی و آنیونی به دلیل استفاده‌های بیشتر در ازدیاد برداشت شیمیایی، بیشتر مورد توجه هستند. سورفکتانتهاي آنیونی بیشترین استفاده را در ازدیاد برداشت نفت دارند. چرا که به مقدار بسیار کمی روی ماسه جذب می‌شوند. همچنین سورفکتانتهاي غیر یونی غالباً در ازدیاد برداشت نفت به عنوان سورفکتانتهاي غیر اصلی و همراه با سورفکتانتهاي دیگر به کار می‌روند تا رفتار فازی سیستم را بهبود دهند [۱].

متغیرهای موثر بر کشش بین‌سطحی سیستم آب_شور_نفت خام_سورفکتانت

تحقیقان متعددی تاکنون تأثیر عوامل مختلفی را بر کشش بین‌سطحی سیستم آب_شور_نفت خام_سورفکتانت، به طور تجربی در آزمایشگاه بررسی کرده‌اند.

از دیاد برداشت شیمیایی با سورفکتانت به صورت تزریق یک محلول آبی حاوی غلظت معینی از سورفکتانت و بعضی نمک‌های محلول (مانند NaCl , CaCl_2 و غیره) است که با دبی معینی با توجه به شرایط مخزن صورت می‌گیرد. از این فرآیند با نام سیلاپ‌زنی با سورفکتانت یاد می‌شود [۱] و [۲]. با افزایش نیروهای ویسکوز و یا کاهش نیروهای مؤینگی بر قدرات نفت در منافذ مخزن، اشباع نفت باقی‌مانده کاهش بیشتری پیدا می‌کند. برای بررسی این دو نیروی مهم، کمیتی بدون بعد به نام عدد موینگی وجود دارد که به صورت نسبت نیروهای ویسکوز به نیروهای موینگی تعریف می‌شود [۱]:

$$(1) \quad N_c = \frac{\nu\mu}{\sigma \cos \theta}$$

ν و σ به ترتیب ویسکوزیته فاز جابه‌جاکننده (سیلاپ تزریقی)، سرعت سیال در حفره و کشش بین‌سطحی فازهای جابه‌جا کننده و جابه‌جاشونده (نفت مخزن) است. θ زاویه بین سیال با دانسیته بالاتر (محلول آبی) و سطح سنگ و N_c عدد مؤینگی است. در صورت افزایش عدد مؤینگی، می‌توان به تولید بیشتر نفت خام دست یافت. با توجه به رابطه ۱، با کاهش کشش بین‌سطحی میان سیال تزریقی و نفت خام، عدد مؤینگی افزایش می‌یابد. افزودن سورفکتانت به سیال تزریقی می‌تواند باعث کاهش کشش بین‌سطحی و افزایش عدد موینگی شود [۱]. مواد فعال‌سطحی دارای تنوع بسیاری از نظر ساختار مولکولی هستند و در نتیجه، دارای عملکردهای متفاوتی در فرآیند سیلاپ‌زنی شیمیایی هستند. اهمیت این تنوع تا جایی است که گاهی استفاده از یک نوع سورفکتانت می‌تواند تأثیر قابل توجهی در کاهش اشباع نفت باقی‌مانده بگذارد؛ در حالی که استفاده از نوع دیگری از سورفکتانت، تأثیر چندانی بر بازیافت نفت نداشته باشد. مواد فعال‌سطحی و سایر مواد شیمیایی در فرآیند ازدیاد برداشت شیمیایی، به عنوان افزودنی‌های سیال تزریقی به شمار می‌روند و تأمین این افزودنی‌ها

از نظر مقدار بزرگ‌تر باشد. این مدل ساده‌ترین رابطه IFT است و دقت بسیار کمی دارد و غالباً برای ایجاد حدس اولیه به کار گرفته می‌شود. گیرفالکو و گود تأثیر انرژی آزاد پیوستگی دوفاز و نیز انرژی آزاد چسبیدگی را با کشش‌های سطحی ادغام کردند و رابطه زیر را ارائه دادند [۲۵]:

$$\sigma_{AB} = \sigma_A + \sigma_B - 2\Phi\sqrt{\sigma_A\sigma_B} \quad (3)$$

ثابت Φ به صورت زیر تعریف شده است:

$$\Phi = -\frac{\Delta G_{AB}^a}{\sqrt{\Delta G_A^c \Delta G_B^c}} \quad (4)$$

ΔG_{AB}^a انرژی آزاد چسبیدگی برای سطح بین دوفاز A و B است و ΔG_A^c و ΔG_B^c انرژی‌های آزاد پیوستگی فازهای A و B هستند. Φ برای بسیاری از سیستم‌های مایع-مایع عددی بین $0/5$ و $1/2$ است. مارمر و والل براساس پژوهش‌های تئوری ترمودینامیکی و داده‌های تجربی به یک مدل تجربی دست یافتند [۲۶]:

(5)

$$\frac{\cosh(\frac{\sigma_A}{42.121})\sigma_A^{0.06116} - \cosh(\frac{\sigma_B}{42.121})\sigma_B^{0.06116}}{\cosh(\frac{\sigma_A + \sigma_B - 0.83755\sigma_A^{0.94965}\sigma_B^{0.05035}}{42.121})(\sigma_A + \sigma_B - 0.83755\sigma_A^{0.94965}\sigma_B^{0.05035})^{-0.93884}} \quad (5)$$

در مدل مارمر و والل، تنها از کشش‌های سطحی فازها استفاده شده است [۲۶] و متغیرهایی نظیر ثوابت موجود در رابطه قبل [۲۵] در آن وجود ندارد. هرچند، دقت آن به مراتب بالاتر از مدل گیرفالکو و گود است. در گروه مدل‌سازی کشش بین‌سطحی از روی روابط تئوری ترمودینامیک، مشهورترین و پراستفاده‌ترین روش توسط گیبس ارائه شده است. اگر یک سیستم دوفازی شامل دوفاز غیرممزوج a و b در نظر گرفته شود که دارای فصل مشترک باشند، مول‌های ماده A در کل سیستم شامل فازهای a و b و فصل مشترک پراکنده می‌شود و غلظت تعادلی آن در دوفاز اصلی، به ترتیب C_i^a و C_i^b خواهد شد [۲۷]. تعداد مول‌های ماده A در فصل مشترک برابر

می‌شود با:

1. Sodium Dodecyl Sulfate (SDS)

2. Brintnell

3. Hexadecyl Trimethyl Ammonium Bromide

4. Tergitol

مرادی و همکاران در نمونه‌ای از کار آزمایشگاهی، تأثیر سه عامل دما، نوع هیدروکربن و شوری محلول آبی را در کنار غلظت سورفتانت بر کشش بین‌سطحی سیستم محلول آبی هیدروکربن سدیم دودسیل سولفات [SDS] بررسی کردند [۳]. دونگ و همکارانش کشش بین‌سطحی را برای نمونه‌های مختلفی از نفت خام و آب‌شور مخزن بربینتل^۱ واقع در آلبرتا کانادا اندازه‌گیری کردند [۴]. برا و همکاران نیز برای نمونه‌ای از نفت خام مخزن احمدآباد در هند برای شوری‌های مختلف در دمای K ۳۱۳، تأثیر سورفتانت‌های مختلف شامل SDS، هگزادسیل تری متیل آمونیوم بروماید (HTAB) و سه نمونه سورفتانت ترجیتول^۲ را بر کشش بین‌سطحی اندازه‌گیری نمودند [۵]. نمونه‌های متعددی از کارهای آزمایشگاهی دیگر [۶-۲۳] تأثیر عوامل مختلف را بر کشش بین‌سطحی بررسی کردند. با مطالعه پژوهش‌های صورت گرفته، متغیرهای تأثیرگذار بر کشش بین‌سطحی سیستم محلول آبی-نفت خام-سورفتانت را می‌توان به صورت زیر دسته‌بندی نمود.

مرواری بر مدل‌های کشش بین‌سطحی سیستم محلول آبی-نفت خام-سورفتانت

تاکنون روش‌های متعددی برای تخمین IFT در شرایط پایدار ارائه شده است که به طور کلی می‌توان آنها را به سه دسته شامل مدل‌سازی IFT براساس داده‌های کشش‌های بین‌سطحی دوفاز غیرممزوج، مدل‌سازی براساس روابط تئوری ترمودینامیک و مدل‌سازی براساس اختلاف دانسیته فازها تقسیم نمود. در گروه مدل‌سازی براساس کشش‌های سطحی فازها، ساده‌ترین مدل توسط آنتونوف ارائه شد که به صورت اختلاف کشش سطحی دومایع هست [۲۴]:

$$\sigma_{AB} = \sigma_A - \sigma_B \quad (2)$$

σ_{AB} کشش بین‌سطحی است و σ_A و σ_B به ترتیب، کشش سطحی مایع‌های A و B هستند؛ در صورتی که هر دو نسبت به یکدیگر اشباع شده باشند و σ_A

غلظت سورفکتانت در سیستم کم (کمتر از ۰/۰۱ مولار) باشد، فعالیت فازهای اصلی ($a_i = x_i \gamma_i$) و نیز ضریب فعالیت سورفکتانت، ثابت در نظر گرفته می‌شوند و غلظت مولار سورفکتانت به جای کسر مولی در فرمول قرار می‌گیرد [۲]:

$$(13)$$

$$d\sigma = -RT \Gamma_3 d\ln(x_3 \gamma_3) \approx -RT \Gamma_3 d\ln(C_3)$$

این فرم از معادله گیبس، صورت رایجی است که برای سیستم‌های حاوی سورفکتانت غیر یونی به کار می‌رود [۲]. اگر سورفکتانت مورد استفاده، یونی باشد، رابطه ۱۳ به صورت زیر خواهد شد:

$$(14)$$

که n عدد جزء حل شده (سورفکتانت) در محلول است که غلظت سطحی آن با تغییر غلظت در بالک، دچار تغییر می‌شود. برای محلول‌های حاوی سورفکتانت یونی که مولکول سورفکتانت به طور کامل تفکیک می‌شود، محلول الکتروولیت حاصل، شامل یون‌های A^+ و B^- حاصل از تفکیک خواهد بود و عدد n به صورت زیر در می‌آید [۲]:

$$(15)$$

بنابراین عدد n برابر با ۲ خواهد شد.

برای حالتی که سورفکتانت یونی رقیق با شرایط تفکیک کامل در حضور یک مقدار اندکی از NaCl قرار گیرد، معادله به صورت زیر خواهد بود [۲]:

$$(16)$$

با استفاده از روابط به دست آمده می‌توان رابطه‌ای برای غلظت سطحی، به صورت رابطه ۱۷ به دست آورد [۲]:

$$(17)$$

رابطه ۱۷ نشان می‌دهد که با استفاده از شبیه نمودار داده‌های تجربی کشش بین‌سطحی بر حسب $\ln(C)$ می‌توان غلظت سطحی را حساب کرد. در نهایت با استفاده از غلظت سطحی به دست آمده، می‌توان سطح مولکولی سورفکتانت را در فصل مشترک محاسبه کرد:

$$n_i^\sigma = n_i - c_i^\alpha V^\alpha - c_i^\beta V^\beta \quad (6)$$

n_i^σ ، V^α و V^β به ترتیب، تعداد مول‌های ماده i در فصل مشترک، حجم فاز α و حجم فاز β هستند. اگر مساحت فصل مشترک برابر با A باشد و فصل مشترک تک لایه در نظر گرفته شود، آنگاه غلظت سطحی به صورت زیر به دست می‌آید [۲]:

$$(7)$$

در صورتی که مواد فعال سطحی در سیستم موجود باشد، تمایل آنها به تجمع در فصل مشترک خواهد بود. برای سیستم سه جزئی شامل آب، هیدروکربن و سورفکتانت، رابطه ۸ برای هر جزء سیستم وجود دارد [۲]:

$$(8)$$

کشش بین‌سطحی دو فاز و پتانسیل شیمیایی هر جزء است. این رابطه می‌تواند به صورت دیگری بازنویسی شود:

$$(9)$$

رابطه ۹ به معادله جذب گیبس معروف است [۲]. این معادله، رابطه‌ای پایه‌ای برای جذب روی فصل مشترک تک لایه است. در شرایط تعادل برای هر جزء در هر یک از فازهای اصلی، رابطه ترمودینامیکی زیر موجود است [۲۸]:

$$(10)$$

که μ_i^0 و μ_i به ترتیب پتانسیل شیمیایی جزء i در فاز چند جزئی، پتانسیل شیمیایی جزء i در حالت پایه (خالص) و ضریب فعالیت جزء i در فاز است. x_i نیز کسر مولی جزء i در فاز مایع است. با استفاده از روابط (۹) و (۱۰) می‌توان معادله جذب گیبس را به صورت زیر نوشت:

$$(11)$$

که برای سیستم سه جزئی موردنظر (آب + سورفکتانت + روغن)، این رابطه به صورت زیر خواهد شد:

$$(12)$$

جزء شماره ۳ همان سورفکتانت است. در صورتی که

$$\Gamma_i = \frac{\Gamma_m C_i}{C_i + a_m^s} \quad (19)$$

با استفاده از رابطه ۱۹ و روابط دیفرانسیلی قبلی، می‌توان کشش بین‌سطحی را در حضور سورفکتانت محاسبه نمود.

$$\sigma_0 - \sigma = RT \Gamma_m \ln \left(1 + \frac{C_i}{a_m^s} \right) \quad (20)$$

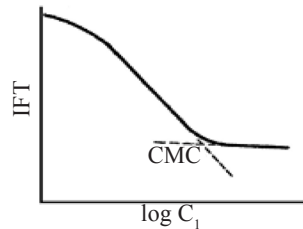
کشش بین‌سطحی میان دو فاز اصلی بدون حضور سورفکتانت است. a_m^s ثابت معادله (سطح مولی کمینه) است. روش گیبس تخمین‌های قابل قبولی ارائه می‌دهد و بیشتر از روش‌های قبلی مورد استفاده است. هرچند در موارد متعددی به ویژه برای تخمین IFT برای مقادیر بزرگ‌تر از CMC انحرافات قابل ملاحظه‌ای دارد. علاوه بر روش‌های IFT معرفی شده، پارهای از مدل‌ها برای تخمین براساس اختلاف دانسیته فازها پیشنهاد شده‌اند که تاکنون، فقط برای سیستم آب شور/هیدروکربن‌های خالص و بدون حضور سورفکتانت ارائه شده‌اند [۲۶-۲۹]. در این مدل‌ها، متغیرهای به کار رفته شامل اختلاف دانسیته فازها ($\Delta\rho$)، دما (T)، دمای بحرانی هیدروکربن خالص (TC) و فشار (P) است. در جدیدترین مدل‌سازی‌های صورت گرفته در این گروه، جهانگیری میبدی و همکاران [۳۱ و ۳۲] از یکی از روش‌های شبکه عصبی و رستمی و همکاران از روش برنامه‌ریزی ژنتیک در مدل‌سازی بهره گرفتند. این روش‌ها تخمین‌های با دقیقیت بالایی را برای IFT سیستم هیدروکربن خالص/آب شور ایجاد می‌کنند. هرچند، در این مدل‌سازی‌ها، حضور سورفکتانت مورد توجه و بررسی قرار نگرفته است. همچنین به دلیل استفاده از هیدروکربن‌های خالص، تخمین سیستم‌های آب شور/نفت خام با انحرافات قابل توجهی مواجه هستند.

در پرژوهه حاضر، روش جدیدی برای تخمین IFT در حضور سورفکتانت پیشنهاد شده که بر مبنای برنامه‌ریزی ژنتیک تولید شده است و برای گروهی از سورفکتانت‌های آنیونی کاربرد دارد.

$$a_i^s = \frac{10^{16}}{N_{\text{avogadro}} \Gamma_i} \quad (18)$$

N_{avogadro} عدد آوگادرو است که برابر 6.022×10^{23} می‌باشد. لازم به ذکر است که واحد a^s برابر آنگستروم مربع است.

با رسم نمودار IFT بر حسب لگاریتم غلظت سورفکتانت، مشاهده می‌شود که در غلظت بحرانی تشکیل مایسل (CMC)^۱، مقدار IFT تقریباً ثابت می‌شود. نمونه‌ای از این نمودار در شکل ۱ نشان داده شده است.



شکل ۱ نمودار کشش بین‌سطحی بر حسب لگاریتم غلظت سورفکتانت [۲]

برای غلظت CMC و کمتر از آن، مقدار شبیه نمودار افت شدیدی می‌کند و پس از CMC، با تقریب خوبی ثابت در نظر گرفته می‌شود. این امر نشان می‌دهد که در غلظت CMC، غلظت سطحی به بیشترین مقدار خود رسیده و بدین ترتیب سطح مشترک از مولکول‌های سورفکتانت اشباع می‌شود. غلظت سطحی اشباع با $m\Gamma$ مشخص شده است. سطح مولکولی در غلظت سطحی بیشینه، کوچک‌ترین سطح خواهد بود که با a^s نشان داده می‌شود.

در مراجع متعددی، داده‌های غلظت سطحی بیشینه و سطح مولکولی در غلظت بیشینه، در شرایط مختلف و برای سورفکتانت‌های گوناگون عرضه شده است. برای استفاده از این داده‌ها، نیاز به روابطی است که ارتباط میان غلظت سطحی بیشینه را با غلظت سطحی در حالت عادی بیان کند. معادله جذب لانگمویر^۲ می‌تواند برای جذب اجزا روی فصل مشترک مورد استفاده قرار گیرد [۲]:

1. Critical Micelle Concentration
2. Langmuir

استفاده قرار گرفته‌اند.

روش برنامه‌ریزی ژنتیک

برنامه‌ریزی ژنتیک (GP) یک روش جستجویی مبتنی بر کدگذاری رایانه‌ای است و یک ابزار قدرتمند برای یافتن راه حل تقریبی برای مسائل بهینه‌سازی و مدل‌سازی محسوب می‌شود. این برنامه‌ریزی نوعی از الگوریتم‌های تکاملی است که برای اولین بار توسط جان هالند معرفی شد. در این روش، از پدیده‌های ژنتیکی وراثت و جهش الگو گرفته شده؛ بدین معنی که یک جمعیت اولیه تولید می‌شود و پس از آن، برای ایجاد نسل بعدی، تنها گونه‌هایی از جمعیت اولیه ادامه نسل می‌دهند که بهترین خصوصیات را داشته باشند [۳۳].

در برنامه‌ریزی ژنتیک ابتدا به طور تصادفی یا الگوریتمیک، چندین جواب برای مسئله تولید می‌شود. این مجموعه جواب‌ها، جمعیت اولیه و هر جواب، یک کروموزوم نامیده می‌شود. سپس با استفاده از عملگرهای الگوریتم برنامه‌ریزی ژنتیک، کروموزوم‌های بهتر (نژدیک‌تر به جواب) انتخاب می‌شوند و این کروموزوم‌ها باهم ترکیب شده تا جهشی در آن‌ها ایجاد شود. بدین ترتیب، جمعیت جدیدی از ترکیب و جهش در کروموزوم‌های اولیه حاصل می‌شود [۳۵-۳۳]. کروموزوم‌ها خود از تعدادی رابطه کوچک‌تر تشکیل می‌شوند که اصطلاحاً به آن‌ها "زن" گفته می‌شود.

هدف اصلی این مطالعه، ارائه مدلی جدید براساس متغیرهای پایه‌ای موثر بر IFT (اشاره شده در جدول ۱) بوده که تخمین‌های قابل قبولی به دست دهد.

مواد و روش‌ها

جمع‌آوری داده‌های تجربی

برای مدل‌سازی کشش بین‌سطحی میان نفت خام و محلول آبی در حضور سورفکتانت، ۵۹۸ داده تجربی از مقالات و منابع مختلف [۱۱-۲۳] جمع‌آوری شد. به منظور افزایش قدرت تخمین و دست یابی به دقت بالاتر، کل داده‌ها به دو دسته کلی شامل داده‌های با غلظت بحرانی (CMC) کمتر از ۱ mmol/L و داده‌های با غلظت بحرانی بیشتر از ۱ mmol/L تقسیم شدند و هر کدام از دسته‌ها برای تولید یک مدل استفاده شد. برای تولید هر مدل، از میان داده‌های مربوط به آن، ۷۰٪ داده‌ها به صورت تصادفی جدا و برای ساخت مدل به الگوریتم برنامه‌ریزی ژنتیک داده شد. به این داده‌ها، اصطلاحاً داده‌ای آموزش مدل^۱ گفته می‌شود. داده‌های باقی‌مانده (۳۰٪ کل داده‌ها) به صورت تصادفی به دو گروه با تعداد مساوی (هر کدام ۱۵٪) شامل داده‌ای اعتبارسنجی خارجی^۲ و داده‌ای تست مدل^۳ تقسیم شدند. داده‌های اعتبارسنجی خارجی برای اصلاح و افزایش دقت مدل و داده‌های تست برای آزمودن میزان دقت و قدرت تخمین مدل تولید شده مورد

جدول ۱ متغیرهای تاثیرگذار بر کشش بین‌سطحی سیستم محلول آبی-نفت خام-سورفکتانت

پارامترهای محیطی	پارامترهای محلول آبی	پارامترهای نفت خام (هیدروکربن)
دما	pH	گراویته مخصوص
فشار	میزان شوری موجود در آب	عدد اسیدی (بر حسب میلی‌گرم KOH بر گرم نمونه نفتی)
	مقدار (غلظت) سورفکتانت موجود	ترکیب اجزای نفت خام (آنالیز SARA یا غیره)
	ساختار شیمیایی سورفکتانت موجود	

1. Training Data Set
2. External Validation Dataset
3. Test Dataset

میان جمعیتنهایی، آنکه کمترین انحراف را با تابع هدف دارد، به عنوان پاسخنهایی برگزیده می‌شود [۳۴]. در این مطالعه، تعداد جمعیت اولیه برابر با ۱۸۰ و تعداد تولید نسل نیز ۱۸۰ در نظر گرفته شد. همچنین از عملگرهای $+$ ، $-$ ، \times ، \div ، \ln (لگاریتم طبیعی) و \exp (تابع نمایی) استفاده شد که براساس آنها، مدل‌های جدید به دست آمدند.

ارزیابی مدل‌های تولید شده

برای ارزیابی مدل‌های مذکور، از پارامترهای آماری رایج شامل مجذور ضریب همبستگی^۱ (R^2)، ریشه میانگین مجذور مربعات خطأ^۲ (RMSD) و میانگین خطای مطلق^۳ (AAD) استفاده شد. این پارامترها به صورت زیر تعریف شده‌اند:

$$R^2 = 1 - \frac{\sum_{i=1}^n (y_i^{\text{exp.}} - y_i^{\text{cal.}})^2}{\sum_{i=1}^n (y_i^{\text{exp.}} - y_i^{\text{exp.ave.}})^2} \quad (21)$$

$$\text{RMSD} = \sqrt{\frac{1}{n} \sum_{i=1}^n (y_i^{\text{exp.}} - y_i^{\text{cal.}})^2} \quad (22)$$

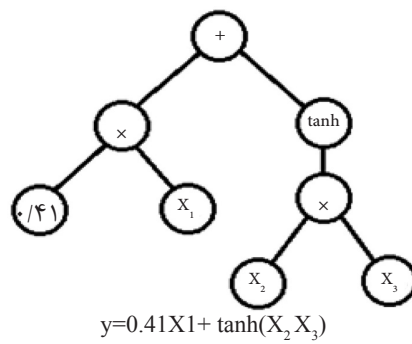
$$\text{AAD} = \left(\frac{1}{n} \right) \sum_{i=1}^n |y_i^{\text{exp.}} - y_i^{\text{cal.}}| \quad (23)$$

y و n به ترتیب مقدار واقعی، مقدار محاسبه شده، میانگین مقادیر واقعی و تعداد داده‌ها در مجموعه قابل بررسی است. مقادیر کوچک‌تر و RMSD و AAD نشان‌دهنده دقیق‌تر است. برای مقادیر R^2 حتی الامکان به ۱ نزدیک‌تر باشد. برای ارزیابی بیشتر مدل‌ها، مقایسه با روش تئوری گیبس صورت گرفته است که نتایج آن ارائه می‌شود.

نتیجه و بحث

با پیاده‌سازی برنامه‌ریزی ژنتیک برروی داده‌های تجربی، دو رابطه برای کشش بین سطحی میان نفت خام و آب شور حاوی سورفکتانت آنیونی به دست آمدند که بر حسب تفاوت در CMC عبارتند از: (الف) برای سورفکتانتها با CMC کمتر از 1 mmol/L :

در واقع، کروموزوم‌ها با جمع جبری وزن‌دار ژن‌ها تشکیل می‌شوند. ژن‌ها به صورت ساختارهایی درختی هستند که هر درخت مت Shank از تعدادی متغیر ورودی (متغیرهای مستقل مدل) به همراه تعدادی عملگر ریاضی است. شماتیکی از ساختار درختی ژن در شکل ۲ آورده شده است:



شکل ۲ شماتیک یک ژن دارای عملگرهای $+$ ، \times و \tanh [۳۴]

تعداد جمعیت اولیه، حداقل تعداد ژن‌های مورد استفاده در مدل‌سازی، حداقل تعداد نقاط در هر ژن (معیاری برای پیچیدگی ژن)، نوع عملگرهای ریاضی قابل استفاده ($+$ ، $-$ ، \times ، \div و غیره) و همچنین تعداد تولید نسل، توسط کاربر به کد برنامه‌ریزی ژنتیک داده می‌شود. پس از مشخص نمودن کروموزوم‌ها و بررسی انحراف آن‌ها از تابع هدف، بایستی با اعمال جهش، جمعیت بعدی تولید شود. در هر نسل، مناسب‌ترین افراد انتخاب می‌شوند و از میان بهترین افراد نسل اولیه، تکامل به صورت کاملاً تصادفی شروع می‌شود تا به تولید نسل دوم برسد. تولید از روی کروموزوم‌های اولیه با عملگرهای ژنتیکی صورت می‌گیرد که به صورت تغییر کروموزوم‌ها و اتصال آن‌ها به سر یکدیگر است. بدین ترتیب، بخش‌هایی از ژن‌های تشکیل‌دهنده یک کروموزوم با بخش‌هایی از ژن‌های کروموزوم‌های دیگر جابه‌جا می‌شوند تا به ایجاد نسل جدید و کروموزوم‌های جدید بیانجامد [۳۶]. کل فرآیند برای تشکیل نسل‌های بعدی هم تکرار می‌شود تا این که به آخرین مرحله تولید نسل برسد. آن‌گاه از

1. Square Correlation Coefficient
2. Root-Mean-Square Deviation
3. Average Absolute Deviation

$$IFT_{O-B-AnionSurf(1)} = IFT_{O-B} \ln \left| \begin{array}{l} 1.652 \exp(-2 C_s (M_w + IFT_{O-B})) - 0.7378 \exp(-2 C_s (S_{eq} + IFT_{O-B})) + 1.79 \exp(-\gamma_o T C_s) \\ -2.001 \exp(-M_w C_s - \frac{\gamma_o}{IFT_{O-B}}) + 29.4 pH \frac{\exp(-2C_s)}{M_w} - 8082 pH \frac{\exp(-\frac{C_s}{\gamma_o})}{(M_w (M_w + C_s))} \\ + 0.7842 \exp(-T M_w C_s) + 1.018 \end{array} \right| \quad (24)$$

مقادیر R^2 ، RMSD و AAD نشان‌دهنده دقیقت قابل قبول این مدل هستند. در جدول ۴، لیست سورفکتانت‌های استفاده شده در مدل، ارائه شده‌اند. این مدل براساس داده‌های عددی مجموعه آلکان‌های موجود در جدول ۵ تولید شده است: نمودار داده‌های تخمینی برحسب داده‌های واقعی مدل (۲۴) در شکل ۳ نمایش داده شده است:

(ب) برای سورفکتانت‌های با CMC بزرگ‌تر از 1 mmol/L :

$$IFT_{O-B-AnionSurf(2)} = IFT_{O-B} \ln \left| \begin{array}{l} 0.7419 \exp(-0.0008981 S_{eq} C_s) - 0.6618 \exp(-S_{eq} - \exp(-C_s)) + 0.1031 \exp(pH - IFT_{O-B} - T C_s) \\ + 0.2943 \exp(-S_{eq} - C_s) - 0.6116 \tanh(T C_s) - 0.0005594(pH - \exp(-C_s))(T - pH + M_w) \\ - 3.002 \exp(-IFT_{O-B} - C_s)(IFT_{O-B} + C_s) + 3.859 \end{array} \right| \quad (25)$$

استفاده شده است. در جدول ۶ پارامترهای آماری مدل (۲۵) آورده شده است:

در تولید این مدل از داده‌های ۹ سورفکتانت آئیونی استفاده شده و کشش بین‌سطحی سیستم آب شور و نفت (بدون حضور سورفکتانت) به عنوان متغیر ورودی در این مدل در نظر گرفته شده است. در جدول ۲ پارامترهای آماری مدل (۲۴) آورده شده است: متغیرهای به کار رفته در این مدل به همراه بازه هر کدام در جدول ۳ ارائه شده است. با توجه به جدول ۲، مدل (۲۴) از مجموع ۲۳۲ داده تجربی تولید شده است و

این مدل برای ۳ سورفکتانت آئیونی تولید شده و از کشش بین‌سطحی سیستم آب شور و نفت خام (بدون حضور سورفکتانت) به عنوان متغیر ورودی

جدول ۲ پارامترهای آماری مدل (۲۴)

$n=162$ آموزش	$n=35$ تست	$n=35$ اعتبارسنجی خارجی	$n=232$ کل
$0.9559 = R^2$ آموزش	$0.9106 = R^2$ تست	$0.9228 = R^2$ اعتبارسنجی خارجی	$0.946 = R^2$ کل
$2/197 = AAD$ آموزش	$2/701 = AAD$ تست	$2/846 = AAD$ اعتبارسنجی خارجی	$2/371 = AAD$ کل
$3/211 \text{ mN/m} = RMSD$ آموزش	$3/7354 \text{ mN/m} = RMSD$ تست	$4/1161 \text{ mN/m} = RMSD$ اعتبارسنجی خارجی	$3/4439 \text{ mN/m} = RMSD$ کل

جدول ۳ متغیرهای مدل (۲۴) و بازه هر کدام از آن‌ها

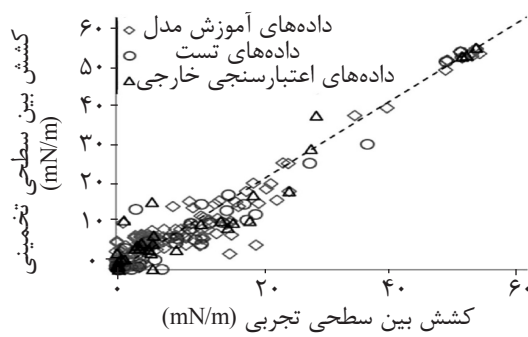
نماد	پارامتر	بازه
$IFT_{O-B-AnionSurf(1)}$	$(\text{mN/m})^1 \text{ mmol/L}$ CMC دارای غلظت NaCl کمتر از	$0/0006 - 52/98$
IFT_{O-B}	کشش بین‌سطحی آب شور و نفت (mN/m)	$39/492 - 52/98$
γ_o	گراویته مخصوص نفت	$0/6882 - 0/8743$
T	(K) دما	$293/15 - 333/15$
pH	پی اچ اولیه (قبل از وارد کردن سورفکتانت)	$7 - 11/133$
S_{eq}	(ppm) NaCl معادل شوری	$0 - 5405$
C_s	(mmol/L) غلظت سورفکتانت غیریونی	$0 - 147/58$
M_w	(g/mol) جرم مولی سورفکتانت (بدون یون تماشاگر همراه)	$321/56 - 761/3$

جدول ۴ سورفکتانت‌های استفاده شده برای تولید مدل (۲۴)

نام سورفکتانت	ساختار
- فنیل هگزادکان سولفونات (8φC16S)	
(AOT) OT آئروسوول	
(n=۵) Gemini آلکیلبنزن‌سولفونات	
(n =۷) Gemini آلکیلبنزن‌سولفونات	"
(n =۹) Gemini آلکیلبنزن‌سولفونات	"
(n =۱۱) Gemini آلکیلبنزن‌سولفونات	"
(n =۱۳) Gemini آلکیلبنزن‌سولفونات	"
سدیم دودسیل بنزن‌سولفونات (SDBS)	
سدیم هگزادسیل سولفات	

جدول ۵ انواع نفت مورد استفاده برای تولید مدل (۲۴)

فاز نفتی	گراویته مخصوص	عدد اسیدی
هپتان	۰/۶۸۸۲	.
اکтан	۰/۷۰۷	.
دکان	۰/۷۳۴۲	.
دودکان	۰/۷۵۲۷	.
تترادکان	۰/۷۶۳۳	.
تولوئن	۰/۸۷۴۳	.



شکل ۳ نمودار داده‌های تخمینی مدل (۲۴) بر حسب داده‌های واقعی

جدول ۶ پارامترهای آماری مدل (۲۵)

$n = 256$ آموزش	$n = 55$ تست	$n = 55$ اعتبارسنجی خارجی	$n = 366$ کل
$0.9489 = R^2$ آموزش	$0.9143 = R^2$ تست	$0.9101 = R^2$ اعتبارسنجی خارجی	$0.9387 = R^2$ کل
$2/202 = AAD$ آموزش	$2/680 = AAD$ تست	$2/825 = AAD$ اعتبارسنجی خارجی	$2/368 = AAD$ کل
$3/0745 \text{ mN/m} = RMSD$ آموزش	$3/9764 \text{ mN/m} = RMSD$ تست	$3/7163 \text{ mN/m} = RMSD$ اعتبارسنجی خارجی	$3/3261 \text{ mN/m} = RMSD$ کل

هستند و برای نفت‌ها و سایر هیدروکربن‌های فهرست شده در جداول مورد نظر (جداول‌های ۵ و ۸) اعتبار کافی هستند.

برای بررسی بیشتر مدل‌های تولید شده، مقایسه‌ای میان این مدل‌ها و روش رایج گیبس صورت گرفته است که نتایج آن در جدول ۱۰ ارائه شده است.

نتایج مقایسه صورت گرفته نشان‌دهنده کمتر بودن مقادیر $RMSD$ و AAD برای مدل‌های جدید و در نتیجه، دقت بالاتر آن‌ها نسبت به روش گیبس است. همچنین در روابط جدید، کشش بین‌سطحی به طور مستقیم با متغیرهای پایه‌ای مؤثر همبسته شده است و از سادگی بیشتری برخوردار است.

متغیرهای مدل (۲۵) به همراه بازه هر کدام در جدول ۷ ارائه شده است. این مدل براساس داده‌های عددی مجموعه نفت‌های خام و هیدروکربن‌های جدول ۸ تولید شده است: با توجه به جدول ۶، مدل (۲۵) از ۳۶۶ داده تولید شده است و مقادیر R^2 ، $RMSD$ و AAD نشان از دقت قابل قبول این مدل دارند. در جدول ۹، ساختار سه سورفتانت مورد استفاده نشان داده شده‌اند: نمودار داده‌های تخمینی بر حسب داده‌های واقعی برای مدل (۲۵) در شکل ۴ آمده است: جداول پارامترهای آماری (۶) و نمودارهای داده‌های تخمینی بر حسب داده‌های تجربی (شکل‌های ۳ و ۴) نشان‌دهنده دقت مناسب تخمین مدل‌های جدید در بازه متغیرهای خود

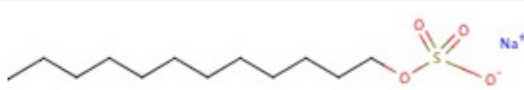
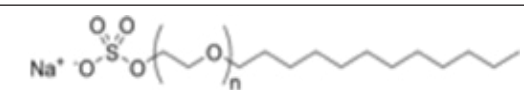
جدول ۷ پارامترهای مدل (۲۵) و بازه هر کدام از آنها

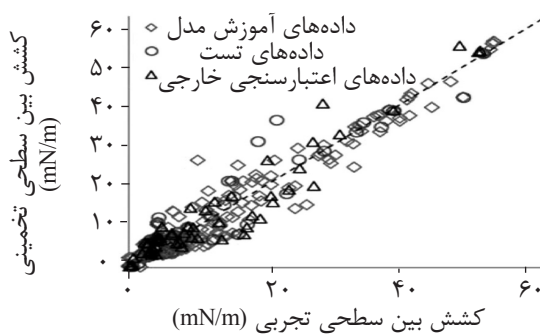
نام	پارامتر	بازه
IFT _{O-B-AnionSurf (2)}	(mN/m) ۱ mmol/L CMC بیشتر از	۰/۰۳۳ - ۵۲/۴۹
IFT _{O-B}	کشش بین سطحی آب شور و نفت (mN/m)	۳/۲۳۵ - ۵۲/۴۹
T	(K) دما	۲۹۲/۶۵ - ۳۳۳/۱۵
pH	پی اچ اولیه (قبل از وارد کردن سورفکتانت)	۶/۶۵ - ۷
S _{eq}	(ppm) NaCl شوری معادل	۰ - ۸۰۰۰
M _w	(g/mol) جرم مولی سورفکتانت (بدون یون تماشگر)	۲۶۵/۴۴ - ۳۰۹/۵
C _s	(mmol/L) غلظت سورفکتانت غیریونی	۰ - ۷۹/۹۸۴

جدول ۸ انواع نفت مورد استفاده برای تولید مدل (۲۵)

فاز نفتی	گروایته مخصوص	عدد اسیدی
هگزان	۰/۶۶۳۸	.
هپتان	۰/۶۸۸۲	.
اکتان	۰/۷۰۷	.
دکان	۰/۷۳۴۲	.
دودکان	۰/۷۵۲۷	.
هگزادکان	۰/۷۷۷۲	.
سیکلوهگزان	۰/۷۸۳۵	.
تولوئن	۰/۸۷۴۳	.
پارافین سبک	۰/۸۴۲	.
نفت خام هند-میدان احمدآباد	۰/۸۳۱	۰/۰۳۸
نفت خام کانادا-میدان برینتل	۰/۹۸۹	۱/۱۹
نفت خام چین-میدان شنگ تو	۰/۸۶۱۷	۱/۴۲۳

جدول ۹ سورفکتانت‌های استفاده شده برای مدل (۲۵)

نام سورفکتانت	ساختار
سدیم دودسیل سولفات (SDS)	
سدیم دودسیل مونو اتر سولفات (POE(n=1))	
سدیم اولئات (OAS)	



شکل ۴ نمودار داده‌های تخمینی مدل (۲۵) بر حسب داده‌های واقعی

جدول ۱۰ نتایج مقایسه مدل‌های جدید با روش گیبس

AAD (mN/m)	RMSD (mN/m)	مدل
مقایسه مدل (۲۴) بر روی مجموعه داده‌های کاربی و همکاران [۱۱]		
۶/۲۸۳۲	۱۰/۷۹۰۲	تئوری گیبس-لانگمویر
۲/۱۲۸۴	۳/۰۹۵	مدل پروژه حاضر
مقایسه مدل (۲۵) بر روی مجموعه داده‌های مراجع [۲۳، ۲۱، ۲۹، ۹، ۵، ۳]		
۳/۵۰۴۸	۶/۲۸۸۲	تئوری گیبس-لانگمویر
۲/۷۴۱۲	۳/۵۹۲۷	مدل پروژه حاضر

فرآیند سیلاب‌زنی با سورفکتانت در ازدیاد برداشت شیمیایی نفت خام، استفاده گستردگی می‌تواند داشته باشند. کارایی این مدل‌ها در شبیه‌سازی مخازن هیدرولیکی، ضمن بهینه‌سازی و سرعت بخشیدن به فرآیند ازدیاد برداشت، می‌تواند باعث صرفه‌جویی در هزینه‌های عملیات آزمایشگاهی مختلف شده و به عنوان روشی جایگزین، برای تشخیص سورفکتانت مناسب مورد استفاده قرار گیرند.

نتیجه‌گیری

در پروژه حاضر، با پیاده‌سازی روش برنامه‌ریزی ژنتیک، دو مدل جدید برای تخمین کشش بین‌سطحی میان هیدرولیکی مایع و آب شور در حضور تعدادی سورفکتانت آنیونی تولید شده‌اند. این مدل‌ها، دارای قدرت تخمین مناسب و نیز سادگی بیشتر نسبت به روش رایج و مشهور گیبس هستند و قابل استفاده در صنایع و فرآیندهایی مرتبط با کشش بین‌سطحی سیستم نفت خام/آب شور/سورفکتانت آنیونی هستند. به ویژه، در

مراجع

- [1]. Sheng J. J., "Modern chemical enhanced oil recovery," Gulf Professional Publishing, 2011.
- [2]. Rosen M. J., "Surfactants and interfacial phenomena," 3rd ed., John Wiley & Sons, 2004.
- [3]. Moradi P., Sohrabi B., Najafi M. and Khani V., "Adsorption and micellar phase properties of anionic surfactant in the presence of electrolyte and oil at different temperatures," Fluid Phase Equilibr., Vol. 337, pp. 370-378, 2013.
- [4]. Dong M., Ma S. and Liu Q., "Enhanced heavy oil recovery through interfacial instability: A study of chemical flooding for Bintnall heavy oil," Fuel, Vol. 88, pp. 1049-1056, 2009.

- [5]. Bera A., Mandal A. and Guha B. B., “*Synergistic effect of surfactant and salt mixture on interfacial tension reduction between crude oil and water in enhanced oil recovery,*” J. Chem. Eng. Data, Vol. 59, No. 1, pp. 89-96, 2013.
- [6]. Moeini F., Hemmati-Sarapardeh A., Ghazanfari M. H., Masihi M. and Ayatollahi S., “*Toward mechanistic understanding of heavy crude oil/brine interfacial tension: The roles of salinity, temperature and pressure,*” Fluid phase Equilibr., Vol. 375, pp. 191-200, 2014.
- [7]. Prince L. M., “*A theory of aqueous emulsions I. Negative interfacial tension at the oil/water interface,*” J. Colloid Interface Sci., Vol. 23, No. 2, pp. 165-173, 1967.
- [8]. Nasr El Din H. A. and Taylor K. C., “*Dynamic interfacial tension of crude oil/alkali/surfactant systems,*” Colloids and Surfaces, Vol. 66, No. 1, pp. 23-37, 1992.
- [9]. Touhami Y., Hornof V. and Neale G. H., “*Interfacial tension behavior of an acidified oil/surfactant system,*” J. Colloid Interface Sci., Vol. 166, No. 2, pp. 506-508, 1994.
- [10]. Amaya J., Rana D. and Hornof V., “*Dynamic interfacial tension behavior of water/oil systems containing in situ-formed surfactants,*” J. Solution Chem., Vol. 31, No. 2, pp. 139-148, 2002.
- [11]. Bi Z., Zhang Z., Xu F., Qian Y. and Yu J., “*Wettability, oil recovery, and interfacial tension with an SDBS–decane–kaolin system,*” J. Colloid Interface Sci., Vol. 214, No. 2, pp. 368-372, 1999.
- [12]. Du X., Wu H. and Lu Y., “*Study on the interfacial tensions between oils and alkylbenzene sulfonate gemini surfactant solutions,*” J. Dispersion Sci. Technol., Vol. 30, No. 1, pp. 61-64, 2009.
- [13]. Fletcher P. D., Savory L. D., Woods F., Clarke A. and Howe A. M., “*Model study of enhanced oil recovery by flooding with aqueous surfactant solution and comparison with theory,*” Langmuir, Vol. 31, No. 10, pp. 3076-3085, 2015.
- [14]. Li Y., Zhang P., Dong F. L., Cao X. L., Song X. W. and Cui X. H., “*The array and interfacial activity of sodium dodecyl benzene sulfonate and sodium oleate at the oil/water interface,*” J. Colloid Interface Sci., Vol. 290, No. 1, pp. 275-280, 2005.
- [15]. Puig J. E., Mares M. T., Miller W. G. and Franses E. I., “*Mechanism of ultralow interfacial tensions in dilute surfactant—oil—brine systems,*” Colloids and Surfaces, Vol. 16, No. 2, pp. 139-152, 1985.
- [16]. Rosen M. J., Wang H., Shen P. and Zhu Y., “*Ultralow interfacial tension for enhanced oil recovery at very low surfactant concentrations,*” Langmuir, Vol. 21, No. 9, pp. 3749-3756, 2005.
- [17]. Bera A., Mandal A. and Kumar T., “*The effect of rock-crude oil-fluid Interactions on wettability alteration of oil-wet sandstone in the presence of surfactants,*” Pet. Sci. Technol., Vol. 33, No. 5, pp. 542-549, 2015.
- [18]. Cortés-Estrada A. H., Ibarra-Bracamontes L. A., Aguilar-Corona A., Viramontes Gamboa G. and Carballo-De la Torre G., “*Surface Tension and Interfacial tension measurements in water-surfactant-oil systems using pendant drop technique,*” in: Experimental and Computational Fluid Mechanics, Springer International Publishing, pp. 219-226, 2014.
- [19]. Hou B. F., Wang Y. F. and Huang Y., “*Study of spontaneous imbibition of water by oil-wet sandstone cores using different surfactants,*” J. Dispersion Sci. Technol., Vol. 36, pp. 1264–1273, 2015.

- [20]. Mulqueen M. and Blankschtein D., "Theoretical and experimental investigation of the equilibrium oil-water interfacial tensions of solutions containing surfactant mixtures," *Langmuir*, Vol. 18, pp. 365-376. 2002.
- [21]. Nahringbauer I., "The interaction between polymer and surfactant as revealed by interfacial tension," *Trends in Colloid and Interface Science V*, pp. 200-205, 1991.
- [22]. Zhou J. S. and Dupeyrat M., "Alcohol effect on interfacial tension in oil—water—sodium dodecyl sulphate systems," *J. Colloid Interface Sci.*, Vol. 134, No. 2, pp. 320-335, 1990.
- [23]. Serrano Saldaña E., Domínguez Ortiz A., Pérez Aguilar H., Kornhauser Strauss I. and Rojas González F., "Wettability of solid/brine/n-dodecane systems: experimental study of the effects of ionic strength and surfactant concentration," *Colloids and Surfaces A: Physicochemical and Engineering Aspects*, Vol. 241, No. 1, pp. 343-349, 2004.
- [24]. Antonoff G. N., "Surface tension at the boundary of two layers," *J.Chem. Phys.*, Vol. 5, pp. 372-385, 1907.
- [25]. Girifalco L. A. and Good R. J., "A theory for the estimation of surface and interfacial energies. I. derivation and application to interfacial tension," *J. Phys. Chem.*, Vol. 61, No. 7, pp. 904-909, 1957.
- [26]. Marmur A. and Valal D., "Correlating interfacial tensions with surface tensions: a Gibbsian approach lang-muir," Vol. 26, No. 8, pp. 5568-5575, 2010.
- [27]. Mitropoulos A. C., "What is a surface excess?," *J. Eng. Sci. Tech. Rev.*, Vol. 1, No. 1, pp. 1-3, 2008.
- [28]. Abbott M. M., Smith J. M. and Van Ness H C., "Introduction to chemical engineering thermodynamics", McGraw-Hill, Boston, 2001.
- [29]. Danesh A., "PVT and phase behaviour of petroleum reservoir fluids," Elsevier, 1998.
- [30]. Sutton R. P., "An improved model for water-hydrocarbon surface tension at reservoir conditions," SPE Annual Technical Conference and Exhibition, Society of Petroleum Engineers, January 2009.
- [31]. Meybodi M. K., Shokrollahi A., Safari H., Lee M. and Bahadori A., "A computational intelligence scheme for prediction of interfacial tension between pure hydrocarbons and water," *Chem. Eng. Res. Des.*, Vol. 95, pp. 79-92, 2015.
- [32]. Rostami A., Ebadi H., Arabloo M., Meybodi M. K. and Bahadori A., "Toward Genetic Programming (GP) Approach for Estimation of Hydrocarbon/Water Interfacial Tension," *J. Mol. Liq.* Vol. 230, pp. 175-189, 2016.
- .[۳۳]."الگوریتم-زنیک"، آموزش-الگوریتم‌های-فرا-ابتکاری /الگوریتم-زنیک.
[34]. Abooali D. and Khamehchi E., "Estimation of dynamic viscosity of natural gas based on genetic programming methodology," *J. Nat. Gas Sci. Eng.*, Vol. 21, pp. 1025-1031, 2014.
- [35]. Abooali D. and Khamehchi E., "Toward predictive models for estimation of bubble-point pressure and formation volume factor of crude oil using an intelligent approach," *Braz. J. Chem. Eng.*, Vol. 33, No. 4, pp. 1083-1090, 2016.
- [36]. Abooali D. and Khamehchi E., "New predictive method for estimation of natural gas hydrate formation temperature using genetic programming," *Neural Comput. Appl.*, In press article, <https://doi.org/10.1007/s00521-017-3208-0>, pp. 1–10, 17 October 2017



Petroleum Research

Petroleum Research 2018 (July-September), Vol. 28, No. 100. 4-8

DOI: 10.22078/pr.2018.2854.2336

Modelling Interfacial Tension of Crude Oil-Brine-Anionic Surfactant Using a Genetic Programming Approach

Danial Aboiali, Shahrokh Shahhosseini*, Mohammad Amin Sobati and Mehdi Assareh

School of Chemical Engineering, Iran University of Science and Technology (IUST), Tehran, Iran

shahrokh@iust.ac.ir

DOI: 10.22078/pr.2018.2854.2336

Received: July/01/2017

Accepted: January/07/2018

Abstract

Surface active agents (surfactants) as the most important chemicals to enhance oil recovery (EOR) can reduce interfacial tension between the injected aqueous solution and the oil in a reservoir. Moreover, they change wettability of the porous media to release and move the remaining oil trapped in the pores and throats towards the well. According to the important roles of the surfactants, it is necessary to predict their performance for EOR process. In this research, two data-based mathematical models were developed to estimate interfacial tension of the oil, salty water and anionic surfactant system using 598 experimental data. To obtain the correlations between the independent variables and the objective function, genetic programming has been applied. Squared correlation coefficient (R^2) of the models is 0.946 and 0.9387; moreover, root-mean-square deviation (RMSD) of the models is 3.4439 mN/m and 3.3261 mN/m respectively. Simplicity and acceptable estimation are particular features of the models.

Keywords: Interfacial Tension, Anionic Surfactant, Crude Oil, Salty Water, Mathematical Model, Genetic Programming.

Introduction

Surface active agents (surfactants) are known as the main materials in chemical enhance oil recovery (EOR), and their key role is to reduce the amount of the trapped residual oil in the pore volumes by reducing the interfacial tension (IFT) between injected aqueous solution and the reservoir crude oil which leads to microscopic displacement of oil to the wells [1]. This process is also known as surfactant flooding in which a certain concentration of surfactant and some soluble salts (such as NaCl, CaCl₂, etc.) are dissolved in water and injected to the reservoir. Residual oil saturation decreases due to increasing viscose forces and/or reduction of capillary forces on oil droplets. To investigate these two important forces, there is a dimensionless quantity called "capillary number" that is defined as the ratio of viscous forces to capillary forces [1]:

$$N_c = \frac{v\mu}{\sigma \cos \theta} \quad (1)$$

v , μ and σ are velocity of the injected fluid in the pores, viscosity of the displacing phase (injection flood) and the IFT between displacing and displaced phases (oil reservoir) respectively. θ is the angle between the higher-density fluid (aqueous solution) and the rock surface and N_c is the capillary number. By increasing the capillary number, more oil can be produced. The capillary number increases with lowering the IFT which is implemented by adding surfactant to the

injected fluid [1].

Surfactants are highly diverse due to their molecular structure and consequently, have different functions in the process of chemical flooding. Hence, it is necessary to evaluate the surfactant parameters for selection of the suitable surfactants. The modeling techniques are usable to estimate and select the best conditions for implementing the process.

Several researches and different laboratory experiments [2-4] have examined the effects of different factors on IFT. Briefly, the variables affecting the interfacial tension of the aqueous solution-crude-surfactant system can be classified as follows (based on the Table 1).

The most famous method for estimating IFT was presented by Gibbs [1] which is used highly in thermodynamics:

$$\Gamma_i = -\frac{1}{nRT} \left(\frac{\partial \sigma}{\partial \ln(C_i)} \right)_T \quad (2)$$

Γ_i , T and C_i are surfactant surface concentration, temperature and surfactant concentration in the aqueous solution, respectively. n is surfactant number which is 2 or more. By plotting the IFT data vs. surfactant concentration, it is observed that the IFT value is almost constant at the critical micelle concentration (CMC) and larger concentrations. An example of this diagram is shown in Figure 1. According to Eq. 6, the surfactant surface concentration is calculated from the slope of such diagram.

Table 1: Variables affecting intermediate level elasticity of aqueous solution - Crude oil - surfactant.

Environmental parameters	Aqueous solution parameters	Crude oil parameters
Temperature	pH	Specific gravity
Pressure	Salinity	Acid number
	Surfactant concentration	Oil composition
	Surfactant structure	

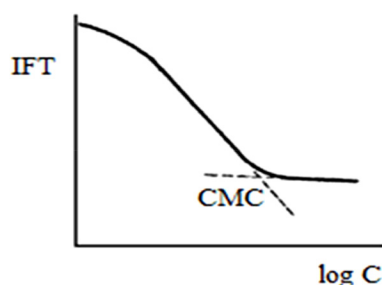


Figure 1: IFT vs. logarithm of surfactant concentration.

In the present study, a new method is proposed for estimating IFT for a number of anionic surfactants based on genetic programming.

Materials and methods

Collecting dataset

598 experimental data were collected from various experimental studies for modelling the IFT between crude oil and aqueous solution in the presence of anionic surfactants. In order to achieve higher accuracy, total dataset were divided into two general categories including critical concentration data (CMC) less than 1 mmol/L and the data with CMC greater than 1 mmol/L and each category was used to generate a model. In each category, 70% of the data was randomly considered as "training data" to construct the model. moreover, the remaining data (30% of the total data) were randomly divided into two groups with equal number including "external validation data" and "test data". The external validation data was used to improve the model accuracy and test data was applied to evaluate the model estimating ability.

Genetic Programming Method

Genetic programming (GP) is a well-known powerful mathematical-statistical tool which has been introduced in the early 1990s and has been developed mostly by John Koza. GP is a machine

learning algorithmic methodology evolving evolutionary computer programs to execute tasks. In this method, a preliminary population of random mathematical functions is generated in the form of chromosome-like syntactic tree structures to be operated on input data. These tree structures are known as "genes" [5]. After producing the first population known as "parents", a number of parent functions are randomly chosen to form some genes and subsequently, primary model will be specified by weighted summation of all the genes with a bias term.

Then, modification of tree structures will be implemented by crossing over the best performing trees (cutting some parts of trees and replacing the cut parts between themselves). This modification is to create a new population (children) of functions and this process is often known as "generation". Generation will be repeated several times until the last population contains functions having enough ability to solve the problem, successfully.

Evaluation of Produced Models

For evaluation of new developed models, the statistical parameters including the correlation coefficient (R^2), root mean square error (RMSD) and mean absolute error (AAD) were used. These parameters are defined as follows:

$$R^2 = 1 - \frac{\sum_{i=1}^n (y_i^{exp.} - y_i^{cal.})^2}{\sum_{i=1}^n (y_i^{exp.} - y_i^{exp.ave})^2} \quad (3)$$

$$RMSD = \sqrt{\frac{1}{n} \sum_{i=1}^n (y_i^{exp.} - y_i^{cal.})^2} \quad (3)$$

$$AAD = \left(\frac{1}{n} \right) \sum_{i=1}^n |y_i^{exp.} - y_i^{cal.}| \quad (5)$$

$y^{exp.}$, $y^{cal.}$, $y^{exp.ave}$, and n are the actual values, the calculated values, mean of actual values and the number of data in the dataset, respectively. Smaller values of RMSD and AAD represent greater accuracy and the R^2 value should be near to unity.

Results and Discussion

By implementing genetic programming on input data, two relationships were found for the IFT between crude oil and saline water containing anionic surfactant. The models are as follows:

For CMC less than 1 mmol/L:

Table 2: The statistical parameters of Eq. 6.

$n_{train} = 162$	$n_{test} = 35$
$R^2_{train} = 0.9559$	$R^2_{test} = 0.9106$
$AAD_{train} = 2.197$	$AAD_{test} = 2.701$
$RMSD_{train} = 3.211 \text{ mN/m}$	$RMSD_{test} = 3.7354 \text{ mN/m}$
$n_{ext-val} = 35$	$n_{total} = 232$
$R^2_{ext-val} = 0.9228$	$R^2_{total} = 0.946$
$AAD_{ext-val} = 2.846$	$AAD_{total} = 2.371$
$RMSD_{ext-val} = 4.1161 \text{ mN/m}$	$RMSD_{total} = 3.4439 \text{ mN/m}$

Table 3: The variables of Eq. 6.

variable		Range
$IFT_{O-B-AnionSurf(1)}$	IFT	52.980.0006 -
IFT_{O-B}	IFT without surfactant	52.9839.492 -
γ_o	Oil specific gravity	- 0.8743 0.6882
T	Temperature (K)	333.15293.15 -
pH	pH	7 - 11.133
S_{eq}	NaCl equivalent salinity (ppm)	0 - 5405
C_s	Surfactant concentration (mmol/L)	0 - 147.58
M_w	Surfactant mol. weight (g/mol)	761.3 - 321.56

$$\begin{aligned} IFT_{O-B-AnionSurf(1)} = & IFT_{O-B} |\ln(1.652 \exp(-2 C_s (M_w + IFT_{O-B})) \\ & - 0.7378 \exp(-2 C_s (S_{eq} + IFT_{O-B})) \\ & + 1.79 \exp(TC_s) + 29.4 \text{ pH} \frac{\exp(-2C_s)}{M_w} \\ & - 2.001 \exp(-M_w C_s - \frac{\tilde{a}_o}{IFT_{O-B}})) \\ & - 8082 \text{ pH} \frac{\exp(-\frac{C_s}{\tilde{a}_o})}{(M_w (M_w + C_s))} \\ & + 0.7842 \exp(-TM_w C_s) + 1.018| \end{aligned} \quad (6)$$

For CMC more than 1 mmol/L:

$$\begin{aligned} IFT_{O-B-AnionSurf(2)} = & IFT_{O-B} |\ln(0.7419 \exp(-0.0008981 S_{eq} C_s) \\ & - 0.6618 \exp(-S_{eq} - \exp(-C_s))) \\ & + 0.1031 \exp(\text{pH} - IFT_{O-B} - TC_s) \\ & + 0.2943 \exp(-S_{eq} - C_s) - 0.6116 \tanh(TC_s) \\ & - 0.0005594 (\text{pH} - \exp(-C_s))(T - \text{pH} + M_w) \\ & - 3.002 \exp(-IFT_{O-B} - C_s)(IFT_{O-B} + C_s) + 3.859| \end{aligned} \quad (7)$$

The Eq. 6 was developed for 6 alkanes and 9 anionic surfactants. The statistical parameters of this model are presented in Table 2. The variables of Eq. 6 are shown in Table 3.

The Eq. 7 has been produced for 3 anionic surfactants and 12 types of oleic phase. The statistical parameters and the variables of Eq. 7 are presented in Table 4 and Table 5, respectively. In the current project, by implementing genetic programming method, two new models were developed to estimate the IFT between oleic phase and saline water in the presence of some anionic surfactants. These models have high

estimation ability and simplicity compared to the Gibbs method and are applicable to industries and processes associated with IFT of the crude oil/brine/anionic surfactant systems. Particularly, in the process of surfactant flooding, they can be used extensively in the chemical EOR. The efficiency of these models can save the cost of various laboratory operations.

Table 4: The statistical parameters of Eq. 7.

$n_{train} = 256$	$n_{test} = 55$
$R^2_{train} = 0.9489$	$R^2_{test} = 0.9143$
$AAD_{train} = 2.202$	$AAD_{test} = 2.680$
$RMSD_{train} = 3.0754 \text{ mN/m}$	$RMSD_{test} = 3.9764 \text{ mN/m}$
$n_{ext-val} = 55$	$n_{total} = 366$
$R^2_{ext-val} = 0.9101$	$R^2_{total} = 0.9387$
$AAD_{ext-val} = 2.825$	$AAD_{total} = 2.368$
$RMSD_{ext-val} = 3.7163 \text{ mN/m}$	$RMSD_{total} = 3.3261 \text{ mN/m}$

Table 5: The variables of Eq. 7.

variable		Range
$IFT_{O-B-AnionSurf(2)}$	IFT	0.033 to 52.49
IFT_{O-B}	IFT without surfactant	52.49 - 3.235
T	Temperature (K)	292.65333.15-
pH	pH	7 - 6.65
S_{eq}	NaCl equivalent salinity (ppm)	0 - 80000
C_s	Surfactant concentration (mmol/L)	79.984 - 0
M_w	Surfactant mol. weight (g/mol)	309.5 - 265.44

References

- [1] Rosen M. J., "Surfactants and interfacial phenomena", 3rd ed., John Wiley and Sons, pp. 208-242, 2004.
- [2]. Dong M., Ma S. and Liu Q., "Enhanced heavy oil recovery through interfacial instability: A study of chemical flooding for Brintnell heavy oil," Journal of Fuel, Vol. 88, pp. 1049-1056, 2009.
- [2]. Bera A., Mandal A. and Guha B. B., "Synergistic effect of surfactant and salt mixture on interfacial tension reduction between crude oil and water in enhanced oil recovery," Journal of Chemistry and Engineering Data, Vol. 59, No. 1, pp. 89-96, 2013.
- [3]. Moeini F., Hemmati-Sarapardeh A., Ghazanfari M. H., Masihi M. and Ayatollahi S., "Toward mechanistic understanding of heavy crude oil/brine interfacial tension: The roles of salinity, temperature and pressure," Fluid Phase Equilibria Journal, Vol. 375, pp. 191-200, 2014.

[4]. Abooali D. and Khamehchi E., “*Toward predictive models for estimation of bubble-point pressure and formation volume factor of crude oil using an intelligent approach,*” Brazilian Journal of Chemical Engineering, Vol. 33, No. 4, pp. 1083-1090, 2016.